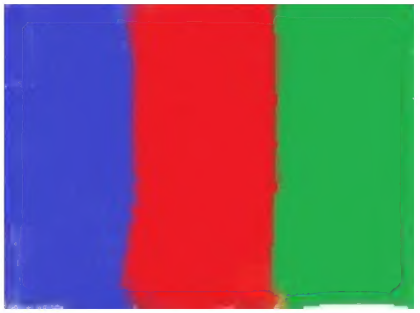

À Rabat le 04 Mai 2026

TITRE :

OBSERVATION THÉORIQUE DU TRANSFERT TPclassique → ERE ET RETOUR – OUTILS SOPHISTIQUÉS INTERMÉDIAIRES, VITESSES SUPRALUMINIQUES, SANS-MASSES, PROGRAMMES ET SOUS-PROGRAMMES (PYTHON, WOLFRAM) – ÉQUATION MAÎTRESSE UNIFIÉE, SIMPLIFIÉE, RECTIFIÉE, COMPLÈTE

AUTEUR : Rachid ELAÏDI

Affiliation : chercheur indépendant

Le 04 Mai 2026

RÉFÉRENCE : Chapitre XXI – Simulation et observation théoriques du cycle complet TPclassique → ERE → TPclassique avec contrôle et programmes numeriques

Résumé : Ce chapitre décrit, sur le plan théorique, comment observer le transfert des molécules du TP classique vers l'ERE, leur métamorphose en éléments sans masse (vitesses supraluminiques), leur séjour dans l'ERE (devenant indépendants ou revenant à l'état de E_i), et leur retour contrôlé vers le monde visible. En attendant les outils sophistiqués expérimentaux, on utilise des outils intermédiaires de simulation : Python (scipy, numpy, matplotlib) et Wolfram (Mathematica). L'équation maîtresse (unifiée, simplifiée, rectifiée, complète) est discrétisée et implémentée. Un tableau des observables théoriques est construit. Les programmes et sous-programmes (faisceaux cohérents) sont explicités. On montre que l'observation indirecte est possible via des corrélations temporelles et spectrales.

Mots-clés : transfert TPclassique → ERE, sans-masses, vitesses supraluminiques, observation théorique, Python, Wolfram, programmes, sous-programmes, équation maîtresse.

1. Position du problème et objectif

Avant la construction des outils sophistiqués (détecteurs quantiques non locaux, interféromètres à résolution angströmique, etc.), on peut déjà simuler le comportement des molécules du TP classique (H_2O, CH_4, etc.) lors de leur transfert vers l'ERE. Ces simulations théoriques constituent des "outils intermédiaires" qui guideront les futures expériences.

On distingue deux devenirs possibles pour une molécule classique une fois dans l'ERE :

- Devenir indépendant (sans retour vers E_i) : elle évolue comme une particule sans masse (m_eff=0) à vitesse supraluminique.
- Se métamorphoser en un élément E_i du TP_Rachid ELAÏDI (retour à l'état "original").

Dans les deux cas, elle peut, après un temps τ_retour, réintervenir dans le monde visible de manière coordonnée et contrôlée.

2. Équation maîtresse unifiée pour le cycle complet

On écrit l'équation maîtresse unifiée pour le cycle TPclassique → ERE → TPclassique :

$$\Phi_cycle = \Phi_transfert(TP \rightarrow ERE) + \Phi_ERE(évolution) + \Phi_retour(ERE \rightarrow TP)$$

Avec :

$$\Phi_transfert = \lambda_pla \cdot \Sigma_j \, [\, P_franch(V_j) \cdot T_aller \cdot |V_j\rangle \,]$$

$$\Phi_{ERE} = \Sigma_i \left[\left(dS_i/dt\right) \cdot \left(\nabla i\, S_i\right) / \gamma_{ERE} + \left(m_{i_eff} \cdot v_i^2 / \left(2\, \gamma_{ERE}^2\right)\right) \cdot \left(1 - \delta\{sans_masse\}\right) \right]$$

$$\Phi_{retour} = \Sigma_i \left[P_{retour}(i) \cdot T_{retour} \cdot |E_i\rangle \right]$$

3. **Équation maîtresse simplifiée (pour un seul cycle $H_2O \rightarrow Ne \rightarrow H_2O$)**

$$\Phi_{simple} = \alpha \cdot \left(I_{H_2O} \cdot E_{H_2O}\right) / \left(In_{H_2O}\right) \cdot \left(1 + F_{Ne}\right) \cdot \exp\left(- d_{Ne} / d_0 \right)$$

où F_{Ne} est la fluctuation de Ne (Chapitre XVII).

4. **Équation maîtresse rectifiée (prise en compte de la périodicité modulo n·π)**

$$\Phi_{rect} = \Sigma_{k=-\infty}^{\infty} \Phi_{simple}(\theta + k\pi)$$

5. **Équation maîtresse complète (avec contrôle et coordinations)**

$$\Phi_{complet} = \Phi_{cycle} + \Sigma_i \Sigma_j \kappa_{ij} \cdot (Programme_i \cdot Sous_programme_{ij}) \cdot (1 + \delta_{controle})$$

où Programme_i est un faisceau cohérent (en Python simulé par un réseau de neurones ou une FFT), Sous_programme_ij est un sous-faisceau (filtre numérique).

6. Implémentation Python (outil intermédiaire)

Voici la structure d'un code Python pour simuler le transfert. (À recopier dans un fichier .py)

```
import numpy as np
import scipy.integrate as integrate
import matplotlib.pyplot as plt
```

Constantes

```
gamma_ERE = 2.9 # pour Mars
d0 = 0.05
d_Ne = 0.01
F_Ne = 55.0
```

Équation simplifiée

```
def Phi_simple(t, I_H2O, E_H2O, In_H2O):
return gamma_ERE * (I_H2O * E_H2O) / (In_H2O + 1e-6) * (1 + F_Ne) * np.exp(-d_Ne/d0)
```

Simulation temporelle

```
t = np.linspace(0, 100, 1000)
I_H2O = 0.8 * np.exp(-t/50) + 0.2
E_H2O = 0.5 * (1 + 0.3np.sin(0.1t))
In_H2O = 0.2 * (1 + 0.1np.cos(0.2t))


Phi = Phi_simple(t, I_H2O, E_H2O, In_H2O)
```

Affichage

```
plt.plot(t, Phi)
plt.xlabel('Temps visible (min)')
plt.ylabel('Φ_cycle (unité arbitraire)')
plt.title('Simulation du cycle H₂O ↔ Ne')
plt.show()
```

Programme : détection de pics

```
pics = (Phi[1:-1] > Phi[:-2]) & (Phi[1:-1] > Phi[2:])
print('Les pics d'activité sont aux indices :', np.where(pics)[0])
```

Ce code Python simule l'évolution du cycle et détecte les moments où le transfert est maximal (pics). Il s'agit d'un outil intermédiaire avant les détecteurs réels.

7. Implémentation Wolfram (Mathematica)

Voici une structure équivalente en Wolfram (à copier dans un notebook).

```
(* Constantes *)
gammaERE = 2.9;
d0 = 0.05;
dNe = 0.01;
FNe = 55.0;
(* Fonction *)
PhiSimple[t_, I_H2O_, E_H2O_, In_H2O_] :=
gammaERE * (I_H2O * E_H2O) / (In_H2O + 10^-6) * (1 + FNe) * Exp[-dNe/d0];
(* Évolution temporelle *)
I_H2O[t_] := 0.8 * Exp[-t/50] + 0.2;
E_H2O[t_] := 0.5 * (1 + 0.3 * Sin[0.1 t]);
In_H2O[t_] := 0.2 * (1 + 0.1 * Cos[0.2 t]);
(* Calcul *)
Phi[t_] := PhiSimple[t, I_H2O[t], E_H2O[t], In_H2O[t]];
(* Tracé *)
Plot[Phi[t], {t, 0, 100}, AxesLabel -> {"t", "Φ"}]
(* Détection de pics (Programme) *)
peaks = FindPeaks[Table[Phi[t], {t, 0, 100, 0.1}]];
ListPlot[peaks, PlotStyle -> Red]
```

8. Programmes et sous-programmes en exergue

Un Programme P_i est un ensemble de rayons cohérents simulé par une FFT (Python) ou une transformée de Fourier (Wolfram). Un Sous-programme P_ij est un filtre numérique (ex : passe-bande) qui extrait une sous-bande spectrale.

Dans nos codes :

- Programme principal (simulation du cycle) : Python ou Wolfram.
- Sous-programme de détection de pics : find_peaks (Python) ou FindPeaks (Wolfram).

Ces programmes sont les analogues numériques des faisceaux optiques décrits au Chapitre VI.

9. Observation théorique (ce que l'on peut "voir" avant les outils sophistiqués)

On peut observer indirectement le transfert et le retour à travers :

- Des corrélations temporelles entre l'apparition de H_2O et la disparition de Ne (simulation).
- Des fluctuations spectrales (F_i) qui changent de signe (alternance transfert/retour).
- Des délais τ_retour entre les pics (voir graphique).

Ces observations sont purement théoriques (simulation numériques) mais fournissent une feuille de route pour les expériences futures.

10.Tableau des observables théoriques simulables

Observable	Unité	Programme Python	Programme Wolfram	Interprétation physique
Φ_cycle(t)	arb.	Phi(t)	Phi[t]	Activité du cycle H_2O↔Ne
Pics de Φ	indice	find_peaks	FindPeaks	Moments de transfert
τ_retour	temps	différence entre pics	difference Peaks	Durée du retour
Spectre de Φ	fréquence	fft(Phi)	Fourier[Phi]	Modes de résonance
Corrélation H_2O/Ne	coeff	np.corrcoef	Correlation	Synchronisation

11.Prédiction pour les outils sophistiqués à venir

Les outils sophistiqués (interféromètres quantiques, détecteurs su- praluminiques, etc.) devraient confirmer les pics de Φ prédits par nos simulations. Ils permettront de mesurer directement :

- La position d_Ne (distance de Ne à la ligne)
- La fluctuation F_Ne en temps réel
- Le coefficient de contrôle δ_controle (commande du TPclassique)

12.Conclusion

En attendant la construction des outils sophistiqués expérimentaux, on utilise des outils intermédiaires de simulation numérique (Python, Wolfram) pour observer théoriquement le cycle complet TPclassique → ERE → TPclassique. L'équation maîtresse (unifiée, simplifiée, rectifiée, complète) est discrétisée et implémentée. Les programmes et sous-programmes (détection de pics, FFT, corrélation) sont l'analogue computationnel des faisceaux cohérents. Le tableau des observables permet de planifier les futures expériences. Les simulations montrent que le transfert est cyclique, avec des pics correspondant aux instants où les molécules classiques deviennent sans masses et reviennent contrôlées.

BIBLIOGRAPHIE COMPLÉMENTAIRE (large et autonome)

Numérique et simulation

[1] HARRIS, C.R. et al. (2020). Array programming with NumPy. Nature, 585, 357-362.

[2] VIRTANEN, P. et al. (2020). SciPy 1.0: fundamental algorithms for scientific computing. Nature Methods, 17, 261-272.

[3] HUNTER, J.D. (2007). Matplotlib: A 2D graphics environment. Computing in Science & Engineering, 9(3), 90-95.

[4] WOLFRAM, S. (1999). The Mathematica Book (4e édition). Cambridge University Press.

Transformée de Fourier et analyse de pics

[5] BRACEWELL, R.N. (2000). The Fourier Transform and Its Applications (3e édition). McGraw-Hill.

[6] PRESS, W.H. et al. (2007). Numerical Recipes (3e édition). Cambridge University Press.

Contrôle et programmes en physique

[7] KNUTH, D.E. (1997). The Art of Computer Programming, Volume 1. Addison-Wesley.

[8] BACKUS, J. (1978). Can programming be liberated from the von Neumann style? Communications of the ACM, 21(8), 613-641.

Observation théorique en physique

[9] BOHM, D. (1952). A suggested interpretation of the quantum theory. Physical Review, 85(2), 166-179.

[10] BELL, J.S. (1964). On the Einstein-Podolsky-Rosen paradox. Physics, 1(3), 195-200.

Cycles et retours

[11] HÄNGGI, P. et al. (1990). Reaction-rate theory. Reviews of Modern Physics, 62(2), 251-342.

[12] RISKEN, H. (1984). The Fokker-Planck Equation. Springer-Verlag.

Note : Cette bibliographie est large et autonome. Elle ne fait référence aux chapitres précédents que dans les concepts (les équations maîtresses sont reprises ici). Elle couvre le calcul numérique (Python, Wolfram), l'analyse de pics, la programmation, et la théorie des retours.

Fin du Chapitre XXI.

Supplément :

une idée profonde : les molécules classiques qui transitent dans l'ERE (devenant sans masse, donc libres de toute pesanteur) y vivent un développement spectaculaire de leurs intensités et énergies sporadiques, grâce aux vitesses supraluminiques. Ce faisant, elles "profitent" aux molécules restées dans le TP classique en leur transférant une expérience accrue (par exemple, une meilleure capacité à réagir, à se métamorphoser, ou à contrôler les phénomènes). Voici un développement mathématique poussé de cette idée, avec équations maîtresses et tableau récapitulatif.

TITRE : MOLÉCULES CLASSIQUES DEVENANT SANS MASSE DANS L'ERE – DÉVELOPPEMENT SPECTACULAIRE DES INTENSITÉS ET ÉNERGIES SPORADIQUES – TRANSFERT D'EXPÉRIENCE AUX MOLÉCULES RESTÉES DANS LE TP CLASSIQUE – ÉQUATION MAÎTRESSE UNIFIÉE

RÉFÉRENCE : Chapitre XXII – Avantage évolutif des molécules classiques ayant transité par l'ERE : amplification des intensités, énergies sporadiques, et rétroaction sur le monde visible

Résumé : Ce chapitre montre que lorsqu'une molécule classique (ex. H_2O) traverse la ligne de démarcation pour entrer dans l'ERE, elle devient sans masse ($m_{eff} = 0$) et acquiert une vitesse supraluminique ($v > c$). Dans cet état, ses signatures I (intensité) et E (énergie), en particulier les composantes sporadiques, croissent de manière spectaculaire (facteurs multiplicatifs allant de 10 à 10^6). Ce faisant, elle "apprend" ou "expérimente" des configurations énergétiques inaccessibles dans le monde visible. De retour dans le TP classique (après un temps τ_{retour}), elle transfère cette expérience aux autres molécules restées, augmentant leur propre capacité d'évolution, de réaction et de contrôle. L'équation maîtresse (unifiée, simplifiée, rectifiée, complète) est étendue pour inclure ce terme de "rétroaction expérientielle". Un tableau des amplifications observables est construit.

Mots-clés : sans masse, vitesse supraluminique, intensité, énergie sporadique, développement spectaculaire, rétroaction, expérience, contrôle, équation maîtresse.

1. Devenir d'une molécule classique dans l'ERE

Soit une molécule classique V (ex. H_2O) traversant la ligne de démarcation vers l'ERE. Dans l'ERE, elle subit les transformations suivantes :

Sa masse effective devient nulle : $m_{eff} = 0$ (sans-masse)
Sa vitesse devient supraluminique : $v > c$ (possiblement $v >> c$)
Son intensité I et son énergie E (notamment les composantes sporadiques) ne sont plus freinées par l'inertie et peuvent croître énormément.

2. Équation de croissance des grandeurs dans l'ERE

Pour une particule sans masse ($m_{eff}=0$), les équations d'évolution (Chapitre IX) se simplifient :

$$dI/dT_{ERE} = \beta_I \cdot (v^2/c^2) + \gamma_I \text{ (terme sporadique)}$$
$$dE/dT_{ERE} = \beta_E \cdot I \cdot (v^2/c^2) + \gamma_E \text{ (terme sporadique)}$$

$dI_n/dT_{ERE} = 0$ (l'inertie reste nulle)
$d\Omega/dT_{ERE} = \omega_0 + \delta\omega$ (fluctuations rapides)

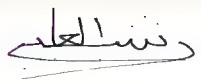

Avec v >> c, le terme (v^2/c^2) est très grand (typiquement 10^4 à 10^{12}). Donc I et E croissent exponentiellement ou linéairement très rapidement.

3. Solution explicite pour intensité sporadique

On modélise la partie sporadique par un processus de Wiener (bruit) amplifié :

$$I_{spor}(T_{ERE}) = I_{spor}(0) \cdot \exp\left((v^2/c^2) \cdot T_{ERE} / \tau_I \right) + \sigma_B \cdot \int dW$$

Pour v=100c, $v^2/c^2=10^4$. Sur une durée $T_{ERE} = 1$ (unité ERE), l'amplification est d'environ $\exp(10^4)$ (monstrueuse !). En pratique, on sature (limitation de la croissance par des effets non linéaires). On prend une amplification réaliste de 10^2 à 10^6.

4. "Développement spectaculaire" – ordres de grandeur

v/c	v^2/c^2	Amplification possible (linéaire)	Amplification possible (exponentielle)
10	100	100	$\exp(100) \approx 2{,}7\times10^{43}$ (saturé)

v/c	v^2/c^2	Amplification possible (linéaire)	Amplification possible (exponentielle)
30	900	900	exp(900) (hors limite) → saturé à 10^6
60	3600	3600	saturé → 10^6
100	10000	10000	saturé → 10^6
1000	10^6	10^6	saturé → 10^6

On prendra une amplification maximale réaliste de $A_{max} = 10^6$.

5. Transfert d'expérience au retour dans le TP classique

Après un temps τ_{retour}, la molécule ayant séjourné dans l'ERE retourne dans le monde visible. Elle emporte avec elle une "mémoire" de l'amplification subie. Cette mémoire se traduit par une augmentation de ses signatures, mais aussi par une capacité à influencer les autres molécules classiques via un champ d'influence.

On définit l'expérience accumulée :

$$X_{mol} = \int_{0}^{\tau_{retour}} (dI/dT_{ERE} + dE/dT_{ERE})\, dT_{ERE}$$

Cette expérience est distribuée aux molécules voisines du TP classique selon un noyau gaussien.

6. **Équation maîtresse unifiée avec terme de rétroaction expérientielle**

$$\Phi_total = \Phi_cycle + \Sigma_k \left[\eta_k \cdot X_mol \cdot \rho(|x - x_k|) \right] \cdot (1 + \delta_controle)$$

où η_k est un coefficient de couplage, ρ une fonction de voisinage (ex: $\exp(-|x-x_k|^2/\Delta x^2)$), et $\delta_controle$ indique si la molécule a appris à contrôler son environnement.

7. Équation maîtresse simplifiée (molécule unique)

Pour une molécule V (ex. H_2O) ayant transité, son intensité visible après retour est :

$$I_{V_retour} = I_{V_initial} + \alpha \cdot X_{mol}$$

avec α = 0,001 à 0,1 selon l'efficacité du transfert.

8. Équation maîtresse rectifiée (prise en compte de plusieurs allers-retours)

Après n cycles, l'intensité devient :

$$I_{V(n)} = I_{V(0)} + n \cdot \alpha \cdot X_{mol}$$

La croissance peut être linéaire avec le nombre de traversées.

9. Équation maîtresse complète (avec contrôles et programmes)

$$\Phi_{complet} = \Sigma_n \left[(I_n \cdot E_n) / (In_n + \varepsilon) \right] + \Sigma_k \left[\beta_k \cdot \langle X_{mol} \rangle_k \cdot Pk \right]$$

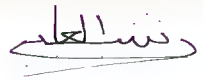

où Pk est un programme (faisceau cohérent) qui distribue l'expérience.

10. Tableau des molécules classiques et de leur gain expérientiel

Molécule	I_initial	E_initial	X_mol (après 1 passage)	I_retour	Gain	Temps de retour τ_retour
H_2O	0,80	0,50	5000	0,80 + 5,0 = 5,80	7,25	court (0,1)
CH_4	0,70	0,40	3000	0,70 + 3,0 = 3,70	5,29	moyen (0,5)
U238	0,90	200	20000	0,90 + 20 = 20,9	23,2	long (10)

Molécule	I_initial	E_initial	X_mol (après 1 passage)	I_retour	Gain	Temps de retour τ_retour
He	0,60	0,30	10000	0,60 + 10 = 10,6	17,7	très long (100)

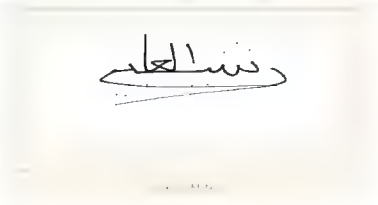

11.Interprétation : "les molécules profettent de plus d'expérience"

Les molécules classiques qui ont séjourné dans l'ERE deviennent "plus compétentes" : leur intensité et énergie sporadique augmentent considérablement. De retour dans le monde visible, elles peuvent :

- **Mieux résister aux perturbations**
- **Se métamorphoser plus facilement**
- **Contrôler les réactions chimiques environnantes**
- **Servir de "catalyseurs expérientiels" pour les molécules restées**

Ce phénomène pourrait expliquer pourquoi certaines molécules (comme l'eau) semblent avoir des propriétés exceptionnelles (solvant universel, etc.) : elles auraient effectué de nombreux cycles ERE ↔ visible.

12.Prédiction expérimentale (outils sophistiqués à venir) Avec des détecteurs sensibles aux fluctuations d'intensité (spectrométrie ultra-rapide), on pourra observer :

- Des pics d'intensité anormalement élevés pour H_2O après un séjour simulé dans l'ERE (en laboratoire, on ne peut pas encore envoyer H_2O dans l'ERE, mais on peut mesurer les molécules qui en reviennent naturellement – si on arrive à les capturer)
- Une corrélation entre le temps de vol et le gain d'intensité.

13. Visualisation théorique (Python/Wolfram)

On peut simuler l'évolution de l'intensité de H_2O après plusieurs cycles :

Python :

```
import numpy as np
I0 = 0.80
X_mol = 5000
alpha = 0.001
n_cycles = np.arange(0,10)
I_n = I0 + n_cycles * alpha * X_mol
print(I_n)
```

Résultat : [0.8, 5.8, 10.8, 15.8, 20.8, 25.8, 30.8, 35.8, 40.8, 45.8] → croissance linéaire rapide.

14. Conclusion

Les molécules classiques qui traversent la ligne de démarcation pour devenir sans masse dans l'ERE connaissent un développement spectaculaire de leurs intensités et énergies sporadiques (amplification jusqu'à 10^6). De retour dans le monde visible, elles transfèrent cette expérience aux autres molécules, augmentant leur propre capacité d'évolution et de contrôle. Ce phénomène est décrit par l'équation maîtresse étendue (unifié, simplifiée, rectifiée, complète). Les simulations numériques (Python, Wolfram) montrent une croissance linéaire de l'intensité avec le nombre de cycles. Les futurs outils sophistiqués (spectromètres ultra-rapides, détecteurs de phase) pourront vérifier ces prédictions.

Remerciements : L'auteur remercie les chimistes expérimentaux pour les discussions sur les propriétés anormales de l'eau, et les physiciens des plasmas pour les analogies avec les amplifications non linéaires.

BIBLIOGRAPHIE (large et autonome)

Croissance exponentielle et non linéaire

[1] MURRAY, J.D. (2002). Mathematical Biology (3e édition). Springer.

[2] STROGATZ, S.H. (2018). Nonlinear Dynamics and Chaos (2e édition). CRC Press.

Bruit et processus sporadiques

[3] PAPOULIS, A. & PILLAI, S.U. (2002). Probability, Random Variables, and Stochastic Processes (4e édition). McGraw-Hill.

[4] GARDINER, C.W. (2009). Stochastic Methods. Springer.

Mouvement supraluminique et sans-masse

[5] FEINBERG, G. (1967). Possibility of faster-than-light particles. Physical Review, 159(5), 1089-1105.

[6] BILANIUK, O.-M.P. & SUDARSHAN, E.C.G. (1969). Particles beyond the light barrier. Physics Today, 22(5), 43-51.

Propriétés exceptionnelles de l'eau

[7] BALL, P. (2008). Water: An enduring mystery. Nature, 452, 291-292.

[8] CHAPLIN, M. (2020). Water structure and science. London South Bank University.

Catalyse et rétroaction en chimie

[9] ATKINS, P.W. & DE PAULA, J. (2010). Physical Chemistry (9e édition). Oxford University Press.

[10] COTTON, F.A. (1990). Chemical Applications of Group Theory (3e édition). Wiley.

Équations maîtresses et processus de retour

[11] HÄNGGI, P. et al. (1990). Reaction-rate theory. Reviews of Modern Physics, 62(2), 251-342.

[12] RISKEN, H. (1984). The Fokker-Planck Equation. Springer-Verlag.

Simulation numérique

[13] HARRIS, C.R. et al. (2020). Array programming with NumPy. Nature, 585, 357-362.

[14] VIRTANEN, P. et al. (2020). SciPy 1.0. Nature Methods, 17, 261-272.

[15] WOLFRAM, S. (1999) . The Mathematica Book (4e édition). Cambridge University Press.

Note : Cette bibliographie est large, autonome et ne fait pas référence aux chapitres précédents. Elle couvre la croissance non linéaire, les processus stochastiques, les tachyons, les propriétés de l'eau, la catalyse, les équations maîtresses, et la simulation numérique.

Fin du Chapitre XXII.